Revisiting $\mathcal{O}(N)$ σ model at unphysical pion masses and high temperatures

李衢智

四川大学

2024 年 4 月 28 日

合作者: 吕源林 (北京大学) 合作导师: 郑汉青

目录

- 1 背景
- ② $\mathcal{O}(N)$ 线性 σ 模型简介
- ③ σ 随 m_{π} 的跑动轨迹
 - O(N) 领头阶
 - $\mathcal{O}(N)$ 线性 σ 模型 +N/D 方法
- 4 有限温中 σ 共振极点的跑动轨迹
- ⑤ 总结

背景

- 手征对称性自发破缺在 QCD 低能动力学有着重要作用。
- QCD 的手征对称性 $SU(2)_L \times SU(2)_R$ 自发破缺成 $SU(2)_V$, 产生三个 Goldstone π 介子。
- 1960, Gell-Mann 和 Levy 首次提出一个模型一线性 σ 模型来描述 QCD 的这种性质,除了三个 π 介子,该模型还引入了一个 σ 粒子[M. Gell-Mann and M. Levy, 1960]。
- 手征对称性的另一种实现是后来被称为手征微扰场论 (χPT [J. Gasser and H. Leutwyler,1984,1985]) 的有效理论,在该理论中,并不需要 σ 粒子。
- 随着能量的增大, χPT 失效,此时需要做幺正化。而幺正化以后, $\pi\pi$ 的散射振幅便动力学产生了一对共振态,即 $f_0(500)$ [J. R. Pelaez,2004]。
- PKU 表示[Z. Xiao and H. Q. Zheng,2001]以及同时满足幺正性、解析性和交叉对称性的 Roy 方程[S. M. Roy,1971]都证明了 f₀(500) 共振态的存在性[I. Caprini, G. Colangelo,etc.,2006], 并给出了其位置。。
- $f_0(500)$ 与线性 σ 模型中 σ 的关系, χPT 并不能告诉我们。而 $\mathcal{O}(N)$ 线性 σ 模型,当 $N\to\infty$ 时,是可解的,因此该模型可能可以回答它们之间的关系。

- 格点 QCD 的快速发展,让我们能够在不同 π 质量下计算 $\pi\pi$ 散射的相移。
- 用 K 矩阵分析 $m_{\pi}=391 \mathrm{MeV}$ $\pi\pi$ 散射振幅,发现 $f_{0}(500)$ 已成为了一个束缚态,而 $m_{\pi}=236 \mathrm{MeV}$ 时还是一个共振态[R. A. Briceno, J. J. Dudek,etc.,2017]。
- PKU 表示结合 BNR 关系也表明当 $m_{\pi}=391 {
 m MeV}, \ f_{0}(500)$ 是一个束缚态[X.-L. Gao, Z.-H. Guo,etc., 2022]。
- 最严格的 Roy 方程结合格点数据,以一种模型无关的方式证明了,当 $m_\pi=391 {
 m MeV}$,不仅 $f_0(500)$ 是一个束缚态,该道的散射振幅还存在一对共振态[X.-H. Cao, QZL, etc., 2023]。

O(N) 线性 σ 模型简介

O(N) 线性-σ 模型拉氏量:

$$\mathcal{L} = \frac{1}{2} \partial_{\mu} \phi_a \partial^{\mu} \phi_a - \frac{1}{2} \mu_0^2 \phi_a \phi_a - \frac{\lambda_0}{8N} (\phi_a \phi_a)^2 + \alpha \phi_N \quad a = 1, \dots, N$$
 (1)

- $\mu_0^2 < 0$: 对称性自发破缺, $\mathcal{O}(N) \to \mathcal{O}(N-1)$, $\langle \phi \rangle = \langle \phi_N \rangle = v \neq 0$ 。
- N-1 个赝标 Goldstone 粒子: π^a , $a=1,\ldots,N-1$.
- α : 显式破缺项,给 π^a 粒子提供质量。

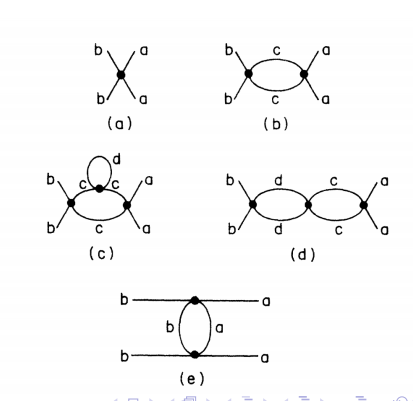
在非破缺相计算粒子 a 与 b 的散射过程

- (a): 1/N 阶;
- (b),(c),(d): 1/N 阶 顶角 (1/N)× N 个粒

子求和

• $(e): 1/N^2$

特别地, (b), (e) 的拓扑结构一样。



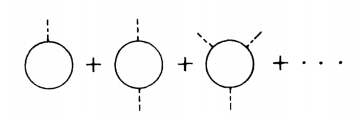
为了更方便的计算 1/N 领头阶,引入辅助场 χ $[\mathsf{S.~R.~Coleman,1974}]$:

$$\mathcal{L} \to \mathcal{L} + \frac{N}{2\lambda_0} \left(\chi - \frac{\lambda_0}{2N} \phi_a \phi_a - \mu_0^2 \right)^2$$

$$= \frac{1}{2} \partial_\mu \phi_a \partial^\mu \phi_a + \alpha \phi_N + \frac{N}{2\lambda_0} \chi^2 - \frac{1}{2} \chi \phi_a \phi_a - \frac{N\mu_0^2}{\lambda_0} \chi$$
(2)

- 完全平方项, 生成泛函仅贡献一个高斯因子。
- ullet 消除了 ϕ^4 自相互作用项和质量项 ϕ^2 。
- χ 的传播子为 $\mathcal{O}(1/N)$ 。

n 点正规顶角的生成泛函—有效作用量:



$$\Gamma(\phi, \chi) = \int d^4 x \left(\frac{1}{2} \partial_{\mu} \phi_a \partial^{\mu} \phi_a + \alpha \phi_N + \frac{N}{2\lambda_0} \chi^2 - \frac{1}{2} \chi \phi_a \phi_a - \frac{N \mu_0^2}{\lambda_0} \chi \right)$$
$$+ \frac{i}{2} N \text{Tr} \log(\partial^2 + \chi - i\epsilon)$$
 (3)

(日) (원) (본) (본) (본)

ullet 当 ϕ,χ 与时空无关时,有效作用量退化到 $-V(\phi,\chi)$,这里的 V 代表有效势:

$$V(\phi, \chi) = -\alpha \phi_N - \frac{N}{2\lambda_0} \chi^2 + \frac{1}{2} \chi \phi_a \phi_a + \frac{N\mu_0^2}{\lambda_0} \chi - \frac{i}{2} N \int \frac{d^4 l}{(2\pi)^4} \log(-l^2 + \chi - i\epsilon) \,. \tag{4}$$

重整化条件:

$$\frac{\mu(M)^2}{\lambda(M)} = \frac{\mu_0^2}{\lambda_0} + \frac{i}{2} \int \frac{d^4l}{(2\pi)^4} \frac{1}{l^2 + i\epsilon}$$
 (5)

$$\frac{1}{\lambda(M)} = \frac{1}{\lambda_0} - \frac{i}{2} \int \frac{d^4l}{(2\pi)^4} \frac{1}{(l^2 + i\epsilon)(l^2 - M^2 + i\epsilon)}.$$
 (6)

有效势的最小值给出场的真空期望值:

• $\frac{\partial V}{\partial \chi} = 0$:

$$\phi_a \phi_a = \frac{2N}{\lambda} \chi - \frac{2N\mu^2}{\lambda} - \frac{N}{16\pi^2} \chi \log \frac{\chi}{M^2}$$
 (7)

 $\bullet \ \frac{\partial V}{\partial \phi_a} = 0:$

$$\chi \phi_a = 0 \ (a < N), \quad \chi \phi_N - \alpha = 0 \tag{8}$$

- * $\langle \pi_a \rangle = 0$, $\langle \phi_N \rangle = v = \alpha/\langle \chi \rangle$, $\langle \chi \rangle = m_\pi^2$
- * f_{π} 的定义: $\langle 0|A_a^{\mu}(x)|\pi\rangle=ip^{\mu}f_{\pi}e^{-ip\cdot x}$
- * PCAC: $\partial_{\mu} A_{a}^{\mu}(x) = \alpha \pi_{a} \Rightarrow v = f_{\pi}$



对场做如下平移:

$$\sigma = \phi_N - v, \quad \tau = \chi - m_\pi^2 \tag{9}$$

新场的有效作用量:

$$\Gamma(\pi, \sigma, \tau) = \int d^4x \left(\frac{1}{2} \partial_\mu \pi_a \partial^\mu \pi_a + \frac{1}{2} \partial_\mu \sigma \partial^\mu \sigma - \frac{1}{2} m_\pi^2 \left(\pi_a \pi_a + \sigma^2 \right) + \frac{N}{2\lambda_0} \tau^2 \right)$$

$$- \frac{1}{2} \tau \pi_a \pi_a - \frac{1}{2} \tau \sigma^2 - v \tau \sigma + \left[\frac{N}{\lambda_0} m_\pi^2 - \frac{1}{2} v^2 - \frac{N\mu_0^2}{\lambda_0} \right] \tau$$

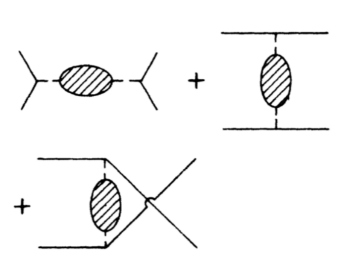
$$+ \frac{i}{2} N \text{Tr} \log \left(\partial^2 + m_\pi^2 + \tau - i\epsilon \right)$$

$$(10)$$

• π 场只与 τ 场有耦合: $\frac{1}{2}\tau\pi_a\pi_a$

σ 场与 τ 场有混合: vτσ

考虑 $\pi\pi$ 弹性散射过程:



$$T_{\pi_a \pi_b \to \pi_c \pi_d} = i D_{\tau \tau}(s) \delta_{ab} \delta_{cd} + i D_{\tau \tau}(t) \delta_{ac} \delta_{bd} + i D_{\tau \tau}(u) \delta_{ad} \delta_{bc}$$
(11)

- $D_{\tau\tau}$ 为 τ 场的传播子。
- 由于 τ , σ 场之间的混合,我们需要考虑一个 2×2 的矩阵:

$$D^{-1}(p^{2}) = -i \begin{pmatrix} p^{2} - m_{\pi}^{2} & -f_{\pi} \\ -f_{\pi} & N/\lambda_{0} + NB_{0}(p^{2}, m_{\pi}) \end{pmatrix}_{\sigma\tau}$$
(12)

$$B_0(p^2, m_\pi) = \frac{-i}{2} \int \frac{d^4l}{(2\pi)^4} \frac{1}{(l^2 - m_\pi^2 + i\epsilon)((l+p)^2 - m_\pi^2 + i\epsilon)}$$
(13)

τ 场的传播子:

$$D_{\tau\tau} (p^2) = \frac{i (p^2 - m_{\pi}^2)}{(p^2 - m_{\pi}^2) (N/\lambda_0 + NB_0 (p^2, m_{\pi})) - f_{\pi}^2}$$
(14)

• σ 场的传播子

$$D_{\sigma\sigma}(p^2) = \frac{i(1/\lambda_0 + B_0(p^2, m_\pi))}{(p^2 - m_\pi^2)(1/\lambda_0 + B_0(p^2, m_\pi)) - f_\pi^2/N}$$
(15)

重整化

$$\frac{1}{\lambda(M)} + B(p^2, m_{\pi}, M) = \frac{1}{\lambda_0} + B_0(p^2, m_{\pi})$$
 (16)

• 定义重整化标度 M, 使得 $1/\lambda(M) = 0$, $\lambda(M) \to \infty$.

$$B(s, m_{\pi}, M) = \frac{1}{32\pi^{2}} \left(1 + \rho(s) \log \frac{\rho(s) - 1}{\rho(s) + 1} - \log \frac{m_{\pi}^{2}}{M^{2}} \right), \quad \rho(s) = \sqrt{\left(s - 4m_{\pi}^{2}\right)/s}$$
 (17)

I = 0, J = 0 散射道振幅[R. S. Chivukula,1991]:

$$T_{00}(s) = \frac{iND_{\tau\tau}(s)}{32\pi} = -\frac{1}{32\pi} \frac{s - m_{\pi}^2}{(s - m_{\pi}^2) B(s, m_{\pi}, M) - f_{\pi}^2/N}$$
(18)

- t-道与 u-道为 1/N 阶。
- 没有交叉对称性。
- 满足幺正性条件:

$$\operatorname{Im} T_{00}(s) = \rho(s) \left| T_{00}(s) \right|^2 \tag{19}$$

- Alder zero: $s=m_{\pi}^2$
- σ 共振态的位置,即 $S=1+2i\rho T$ 矩阵在 I 叶的零点:

$$(s - m_{\pi}^2) B^{II}(s, m_{\pi}, M) - f_{\pi}^2 / N = 0,$$
(20)

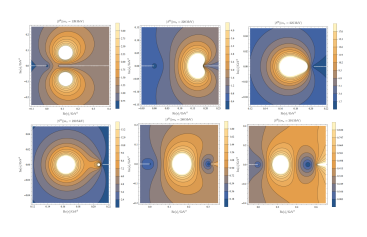
$$B^{II}(s, m_{\pi}, M) \equiv B(s, m_{\pi}, M) - i\rho(s/(16\pi)),$$
 (21)

当 m_π 增大时,共振态极点会逐渐跑到阈下实轴上成为两个虚态,然后一个虚态往右跑,最终在当 $m_\pi=m_c$ 时,越过割线跑到第 \mathbf{l} 叶上,变成束缚态,其中:

$$\log \frac{m_c^2}{M^2} = 1 - \frac{32\pi^2 f_\pi^2}{3m_c^2 N} \tag{22}$$

• $m_c \simeq 242 \mathrm{MeV}$.

O(N) 领头阶



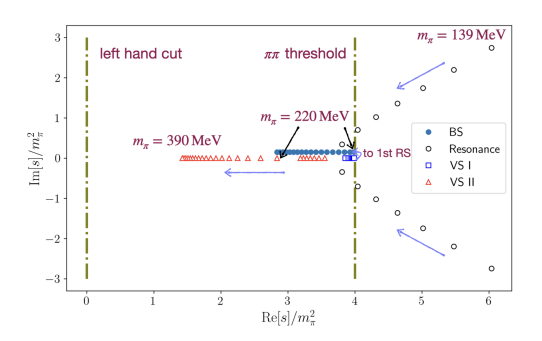
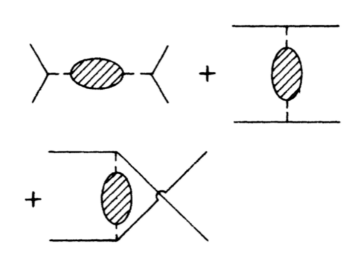


表: $m_{\pi} \simeq 390 \mathrm{MeV}$, σ 是一个束缚态

	$\mathcal{O}(N)LO$	Roy 方程
左手割线位置	$(-\infty,0)$	$(-\infty, 4m_{\pi}^2 - m_{\sigma}^2)$
Adler zero	m_{π} ,实轴上	$206^{+29}_{-18} \pm i(225^{+3}_{-18})$ MeV, 复平面上
阈下共振态	不存在	$\left(269_{-25}^{+40}\right) - i\left(211_{-23}^{+26}\right)$ MeV

○ O(N)LO 振幅左手割线位置是错的。



当 σ 成为束缚态时,u 道和 t 道振幅会贡献新的左手割线,而 $\mathcal{O}(N)$ LO 并没有包含 t 道和 u 道, 因为这两项都是 NLO,这也表明LO 振幅破坏了交叉对称性。由于完整的 NLO 振幅计算太复杂. 因此我们只能采取一些方法近似地考虑交叉道的影响。

O(N) 线性 σ 模型 +N/D 方法

• 考虑部分 NLO 的振幅:

$$T_{00}(s) = \frac{N-1}{32\pi} A^{LO}(s) + I_{tu}(s)$$

$$A^{LO}(s) = \frac{m_{\pi}^2 - s}{(s - m_{\pi}^2) NB(s, m_{\pi}, M) - f_{\pi}^2}$$

$$I_{tu}(s) = \frac{1}{16\pi (s - 4m_{\pi}^2)} \int_{4m_{\pi}^2 - s}^{0} dt A^{LO}(t)$$
(23)

- ullet 当 σ 变为束缚态后, $I_{tu}(s)$ 会自动产生新的割线: $(-\infty, 4m_\pi^2 m_\sigma^2)$ 。
- 虽然恢复了部分的交叉对称性, 但不满足幺正性。
- N/D 方法来恢复幺正性。

不失一般性, 把分波振幅 $T(s) = \frac{N(s)}{D(s)}$

N(s) 只包含左手割线:

$$\operatorname{Im}_{L} N(s) = D(s) \operatorname{Im}_{L} T(s)$$
(24)

D(s) 只包含右手割线:

$$\operatorname{Im}_{R} D(s) = -\rho(s)N(s) \tag{25}$$

对二者分别做两次减除并写下色散关系:

$$D(s) = 1 + a_0(s - s_0) - \frac{(s - s_0)^2}{\pi} \int_R \frac{\rho(s') N(s')}{(s' - s) (s' - s_0)^2} ds'$$

$$N(s) = b_0 + b_1(s - s_0) + \frac{(s - s_0)^2}{\pi} \int_L \frac{D(s') \operatorname{Im}_L T(s')}{(s' - s) (s' - s_0)^2} ds'$$
(26)

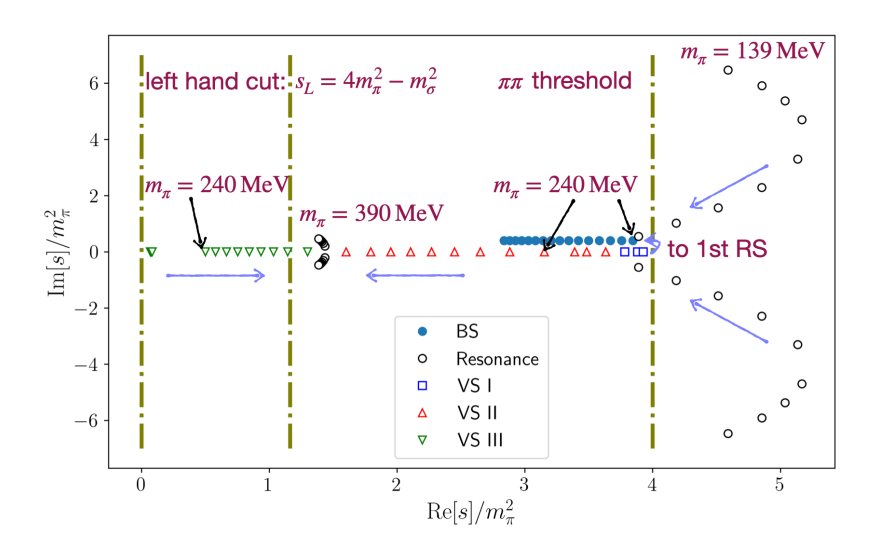
- 把 D(s) 代入 N(s) 中将得到一个关于 N(s) 的积分方程。
- 输入 Im_L T(s) 便可数值求解该方程。

输入:

$$T_{00}(s) = \frac{N-1}{32\pi} A^{LO}(s) + I_{tu}(s)$$
 (27)

我们便得到了有幺正性,也具有部分交叉对称性的振幅。然后我们再看 m_π 变动下振幅的极点情况。

14/19



有限温中 σ 共振极点的跑动轨迹

- 随着温度升高,QCD 的手征对称性将慢慢恢复; [H. T. Ding et al. (HotQCD), 2019]
- 在没有显式破缺的 $\mathcal{O}(N)$ 中,临界温度 $T_c\simeq \sqrt{12/N}f_\pi\simeq 160\,\mathrm{MeV};$ [A. Bochkarev, 1996; J. O. Andersen, 2004]
- 临界温度以上,没有显式破缺时 σ 和 π 的质量应该简并;

有限温下,真空期望值 v 与 m_π^2 [J. O. Andersen, 2004]:

$$v^{2}(T) = f_{\pi}^{2} + \frac{N}{16\pi^{2}} \left(m_{\pi}^{2} \log \frac{m_{\pi}^{2}}{M^{2}} - m_{\pi}^{2}(T) \log \frac{m_{\pi}^{2}(T)}{M^{2}} \right) - NA^{T \neq 0} \left(m_{\pi}^{2}(T) \right)$$

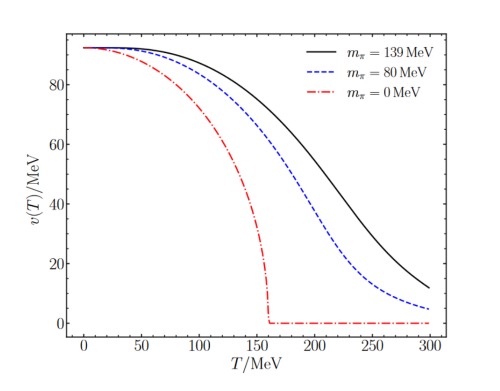
$$\alpha = v(T) m_{\pi}^{2}(T)$$
(28)

• T = 0, $v(T) = f_{\pi}$, $m_{\pi}(0) = m_{\pi}$;

•

$$A^{T\neq0}\left(m_{\pi}^{2}(T)\right) = \int_{0}^{\infty} \frac{\mathrm{d}k}{2\pi^{2}} \frac{k^{2} n_{B}\left(\omega_{k}\right)}{\omega_{k}}$$

• $\beta=1/T$, $\omega_k=\sqrt{k^2+m_\pi^2(T)}$, $n_B\left(\omega_k\right)=\left(e^{\beta\omega_k}-1\right)^{-1}$ (Bose-Einstein 分布)



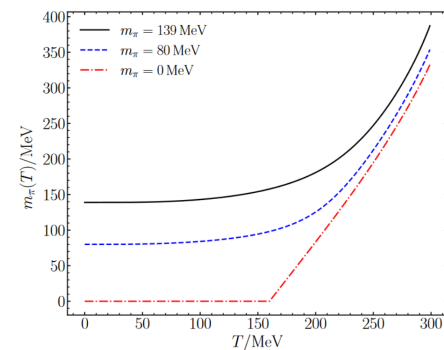


图: v(T)[左] 和 $m_{\pi}(T)$ [右] 随着温度升高的曲线;

- 没有显式破缺时, $m_{\pi}(0)=0$,存在一个二级相变, $T_c\simeq 160\,\mathrm{MeV}$;
- 存在显式破缺, $m_\pi(0) \neq 0$,没有相变,但 $v(T) \to 0$ 随着温度的升高。

有限温下,零头阶 $\pi\pi$ 散射振幅:

$$\mathcal{T}_{00}^{T}(s) = -\frac{1}{32\pi} \frac{s - m_{\pi}^{2}(T)}{(s - m_{\pi}^{2}(T)) B^{T}(s, m_{\pi}(T), M) - v^{2}(T)/N},$$
(29)

有限温时的两点关联函数:

$$B^{T}(s, m_{\pi}(T), M) = B(s, m_{\pi}(T), M) + B^{T \neq 0}(s, m_{\pi}(T))$$

$$B^{T \neq 0}(s, m_{\pi}(T)) = \int_{0}^{\infty} \frac{\mathrm{d}kk^{2}}{8\pi^{2}\omega_{k}^{2}} n_{B}(\omega_{k}) \left(\frac{1}{E + 2\omega_{k}} - \frac{1}{E - 2\omega_{k}}\right),$$
(30)

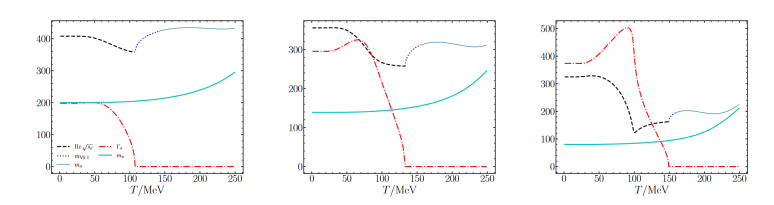


图: σ 共振态的质量和宽度随着温度的变化曲线。从左到右, $m_{\pi}(0)=200,139,80\,\mathrm{MeV}$

总结

- 在 $\mathcal{O}(N)$ 线性 σ 模型中,随着 m_π 质量的增大, σ 也将从一个共振态变成一个束缚态,与 $f_0(500)$ 性质一样。
- 当考虑部分交叉对称性后,由 $\mathcal{O}(N)$ 模型得到的图像与 Roy 方程的定性上完全一致。这进一步 表明 $\mathcal{O}(N)$ 模型中的 σ 就是 $f_0(500)$ 。
- $\pi\pi$ 散射过程中的 $f_0(500)$ 也扮演着与 σ 在 $\mathcal{O}(N)$ 模型中同样的角色-为对称性自发破缺提供真空期望值。
- 当温度升高时, σ 共振极点会先跑到实轴上成为一对虚态,然后其中一个将穿过阈到第一黎曼 页成为束缚态。而在高温下,它会趋近 π 介子质量。
- 启发我们研究 πN 散射中 $N^*(920)$ [X.-H. Cao, QZL, and H.-Q. Zheng, 2022] 随着介子质量和温度的跑动轨迹。